# المقارنة بين التصميم اللدن القائم على الأداء والتصميم المتبع في الكودات للجمل الثنائية من البيتون المسلم (إطارات-جدران قص)

\* د. علي تريكية

\*\* د. قصى نداف

\*\*\*م. حسان عيسى

#### الملخص:

من المعلوم بأن الضرر الزلزالي لا يمكن تجنبه، ولكن يمكن التقليل منه باتباع إرشادات التصميم الزلزالي. ومن جهة أخرى، غالباً ما يقود التصميم الزلزالي وفق الطرق المعتمدة بالكودات حالياً والقائمة على التصميم المرن إلى أنماط انهيار غير مرغوبة، لذلك من المنطق أن يتم البحث عن طرق تصميم تحقق أداء أفضل ونمط انهيار مرغوب بما يلبي معايير التصميم الزلزلي. يهدف البحث للمقارنة بين سلوك الجمل الثنائية من البيتون المسلح (إطارات-جدران قص) باستخدام كل من طريقة التصميم التقليدية المتبعة في الكودات وطريقة التصميم اللدن القائم على الأداء من خلال رصد بارامترات الاستجابة في المنشأ وفق طريقة التصميم المتبعة، وذلك بإجراء دراسة تحليلية تطبيقية على ثلاثة نماذج من الجمل الثنائية بـ 10 و 15 و 20 طابق مصممة وفق كل من طريقة الكود وطريقة التصميم اللدن القائم على الأداء.

تمت مناقشة النتائج بعد دراسة الانتقالات الكلية والاستجابة وميكانيزمات الانهيار الحاصلة وتغير أبعاد المقاطع التصميمية في نوعي التصميم.

كلمات مفتاحية: الجمل الثنائية، التصميم اللدن القائم على الأداء، ميكانيزم الانهيار.

<sup>\*</sup> أستاذ مساعد في قسم الهندسة الإنشائية، كلية الهندسة المدنية، جامعة تشرين اللاذقية، سورية.

<sup>\*\*</sup> مدرس في قسم الهندسة الإنشائية، كلية الهندسة المدنية، جامعة تشرين اللاذقية، سورية.

<sup>\*\*\*</sup> طالب دراسات عليا (دكتوراه) في قسم الهندسة الانشائية، كلية الهندسة المدنية، جامعة تشرين، سورية.

#### Comparison between Performance-Based Plastic Design and the Design Followed in Codes for RC Dual Systems (Frames - Shear Walls)

DR. Ali Turikieh \*
DR. Kussai Naddaf \*\*
Eng. Hassan Issa\*\*\*

#### **Abstract**

It is known that seismic damage cannot be avoided, but can be minimized by following seismic design guidelines. On the other hand, seismic design according to the methods currently approved in codes and based on elastic design often leads to undesirable collapse patterns, so it is logical to search for design methods that achieve better performance and a desirable collapse pattern that meets seismic design standards. The research aims to compare the behavior of RC dual systems (frames - shear walls) using both the traditional design method followed in the codes and the performance-based plastic design method by monitoring the response parameters in the structure according to the followed design method, by conducting an applied analytical study on Three models of dual systems with 10, 15 and 20 stories are designed according to both the code method and the performance-based plastic design method. The results were discussed after studying the total displacements, response, collapse mechanisms, and changing the dimensions of the design sections in the two types of design.

**Keywords**: Dual system, Performance-Based Plastic Design, collapse mechanisms.

<sup>\*</sup> Associate Professor in Department of Structural Engineering, Faculty of Civil

<sup>\*</sup>Associate Professor in Department of Structural Engineering, Faculty of Civil Engineering, Tishreen University, Lattakia, Syria.

<sup>\*\*\*</sup> Lecturer in Department of Structural Engineering, Faculty of Civil Engineering, Tishreen University, Lattakia, Syria.

<sup>\*\*\*</sup> Postgraduate Student- Department of Structural Engineering- Faculty of Civil Engineering- Tishreen University- Lattakia- Syria.

#### -مقدمة البحث:

من الملاحظ أن المنشآت المصممة وفق كودات التصميم الحالية يتوقع لها أن تخضع لتشوهات لامرنة كبيرة خلال الأحداث الزلزالية الرئيسية، حيث تعتمد إجراءات التصميم المعتمدة عموماً في هذه الكودات على السلوك المرن، وتفترض بأن المنشأ سيسلك سلوكاً مرناً ومن ثم تخفض تلك الاستجابة بمعامل تعديل الاستجابة R وذلك لاحتساب السلوك اللامرن بطريقة غير مباشرة [1]. لقد بينت التجارب القاسية في الماضي أن هذه المنشآت ليس بالضرورة أن تتبع ميكانيزم الخضوع المرغوب حتى أنها يمكن أن تنهار، وقادت هذه التجارب الباحثين لتطوير طرق تصميمية بمستويات موثوقة من الأداء والأمان والاقتصاد على حد سواء. ومن أجل تحقيق هذه الغاية ينبغي أن تؤخذ بعين الاعتبار وبشكل أولي ضمن طريقة التصميم بارامترات تصميمية مثل القوة الجانبية ومقاومة العناصر وميكانيزم الخضوع المرغوب والانتقال الجانبي.. إلخ.

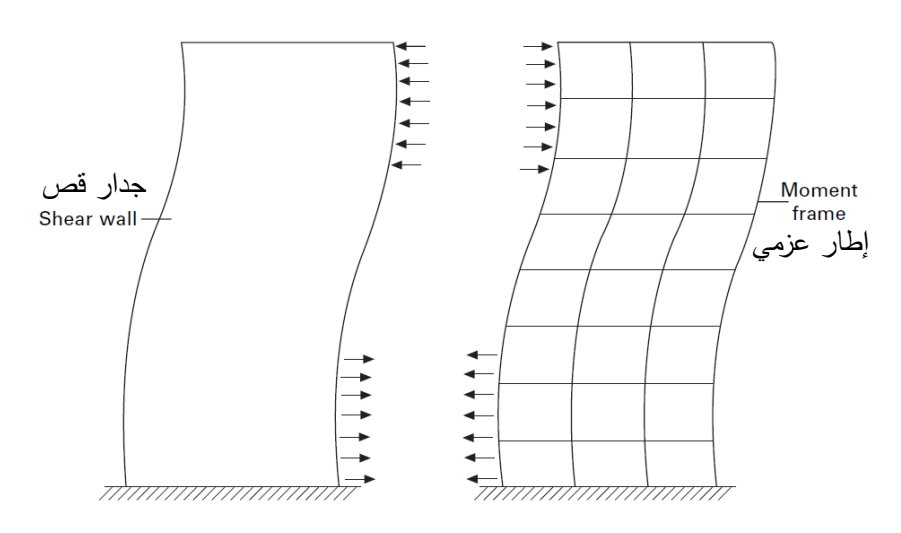
تعتبر طريقة التصميم اللدن القائم على الأداء [PBPD] واحدة من الطرق التي تأخذ بالاعتبار السلوك اللامرن للمنشأ وقد قام بتطويرها Gole وآخرون [1]. تم اشتقاق هذه الطريقة بشكل أساسي اعتماداً على نتائج التحليلات الستاتيكية والديناميكية التي أجراها الباحثون على الإطارات المصممة بهذه الطريقة باستخدام سجلات زلزالية تقليدية والتي أظهرت مستوى مقبولاً من الأداء الزلزالي [2].

إن تطبيق طريقة PBPD سابقة الذكر كطريقة تصميم حديثة أكسبها أهمية ليتم تعميمها على أنواع عديدة من المنشآت، وطالما أن المنشآت البيتونية ذات الجمل الثنائية تمتلك مزايا كل من الإطارات المقاومة للعزوم SMRF وجدران القص Shear Wall، فإن ميكانيزم الخضوع المرغوب خلال الحدث الزلزالي يعتمد على طريقة التصميم المتبعة. قامت طريقة PBPD التقليدية بإعادة حل مشكلة حدوث ميكانيزم خضوع غير مرغوب به باختيار ميكانيزم خضوع محدد مسبقاً. ومن الجدير بالذكر أن معامل تعديل الطاقة  $\gamma$  المستخدم في طريقة PBPD يعتمد على الطلب على المطاوعة  $\mu$  وعامل خفض المقاومة  $R_{\mu}$  والذي بدوره متعلق بالحمل الزلزالي المدخل.

# المقارنة بين التصميم اللدن القائم على الأداء والتصميم المتبع في الكودات للجمل الثنائية من البيتون المقارنة بين التصميم اللدن القائم على الأداء والتصميم المتبع في الكودات للجمل الثنائية من البيتون

تعرف الجملة الثنائية [3] Dual System بأنها جملة إنشائية مركبة تقاوم الأحمال الجانبية بأداء متزامن لعناصر إنشائية مختلفة النوع، وتتقلها إلى القواعد. وينبغي في هذا النوع من الجمل تحقيق المتطلبات الآتية:

- 1. تتم مقاومة أحمال الجاذبية بشكل رئيسي من قبل العناصر الإطارية.
- 2. تتم مقاومة الأحمال الجانبية بالعمل المشترك لجدران القص أو الإطارات المربطة من جهة مع الإطارات العزمية من جهة أخرى، بحيث تتحمل الإطارات العزمية ما لا يقل عن 25% من الأحمال الجانبية الزلزالية ما يعني امتلاك الجوائز والأعمدة ما يكفى من المقاومة لتحمل تلك الأحمال.



الشكل 1: التفاعل بين الإطار وجدار القص [3].

يمكن أن يكون الإطار المقاوم للعزوم من البيتون المسلح أو الفولاذ لكن الإطارات البيتونية المتوسطة Intermediate Frames لا يسمح باستخدامها في المناطق الزلزالية 3 و4 [4].

أما الجملة التفاعلية (Interactive) فهي نفس الجملة الثنائية المعرفة سابقاً إلا أنه لا يشترط فيها تصميم الإطارات المقاومة للعزم لتحمل 25% من القوى الزلزالية وإنما تصمم لتحمل نسبة من القوى الزلزالية وفقاً لقساوتها [6].

الجملة الثنائية من البيتون المسلح (إطارات-جدران قص) وميكانيزم الانهيار المرغوب:

تعد الجملة الثنائية من البيتون المسلح (إطارات-جدران قص) واحدة من الجمل الإنشائية التي تتميز بأداء زلزالي يجمع تقريباً بين مزايا الإطارات المقاومة للعزوم Moment Resisting Frame (MRF) وجدران القص (Shear Wall (SW) في المطاوعة العالية high ductility والصلابة الجانبية الكبيرة high lateral stiffness على الترتيب. في نمط الانهيار المرغوب في مثل هذا النوع من الجمل الإنشائية تلعب الجوائز في كافة الطوابق وجدار القص والأعمدة في الطابق الأرضى الدور الرئيسي في تبديد طاقة الزلزال كعناصر محكومة بالخضوع تتشكل فيها مفاصل لدنة وبذلك تتحكم بأداء المنشأ عند مقاومة الأحمال الزلزالية، بينما تبقى الأعمدة وجدران القص في بقية الطوابق عدا الأرضى مرنة أي غير محكومة بالخضوع. وباختلاف الأبعاد الهندسية للعناصر المؤلفة للجملة الثنائية يختلف نمط الخضوع من قصبي إلى انعطافي.

- قام الباحثان Mwafy وElrashai [7] بإجراء دراسة لتقييم صلاحية وفعالية التحليل الدفعي التقليدي بمقارنته مع التحليل الديناميكي لعدة نماذج من الأبنية من البيتون المسلح مكونة من جمل إطارية منتظمة وغير منتظمة وجمل مختلطة (إطارات وجدران قص) معرضة لمجموعة كبيرة من تسجيلات الهزات الأرضية وقد استخدم في التحليل الدفعي ثلاثة أشكال للحمولات الجانبية: الحمولة الموزعة بانتظام لتعبر عن توزع الكتلة الشاقولي في الطوابق، والحمولة الكودية المثلثية لتعبر عن شكل نمط الاهتزاز المسيطر عادة في المجال المرن، والحمولة المجمعة SRSS للأنماط الثلاثة الأولى وذلك للأخذ بالاعتبار تأثير الأنماط العليا. توصل البحث الى أن التحليل الدفعي التقليدي مناسب أكثر للمباني القليلة والمتوسطة الارتفاع أكثر من المباني العالية وأن أشكال الحمولات الثابتة المستخدمة للتعبير عن مشاركة الأنماط العليا SRSS غير كافية في المجال اللدن. وأوصى البحث لتجاوز هذه المشكلة، بضرورة استخدام أكثر من شكل واحد للحمولة الجانبية في التحليل لضمان الإحاطة بالاستجابات الحاصلة بشكل مقبول.

- طور الباحثون Hajirasouliha, Asadi, Pilakoutas طريقة عملية للتصميم المعتمد على الأداء للحصول على تصميم أكثر كفاءة من خلال إعادة تعيين مقاطع العناصر

# المقارنة بين التصميم اللدن القائم على الأداء والتصميم المتبع في الكودات للجمل الثنائية من البيتون المسلح (إطارات-جدران قص)

الإنشائية تبعاً لأداء للعناصر القوية والضعيفة لتشكل حالة من التشوه الموزع بانتظام، وطبق ذلك على جمل ثنائية مؤلفة من 15 و 10 طوابق، وبعد التصميم تم تعريضها لتسارعات زلزالية حقيقة ليتبين أنها أبدت نقصاً في الضرر العام بمقدار 30% مقارنة بتلك المصممة وفق الكودات الحالية حيث تم توزيع الضرر الطابقي والمقارنة بين Damage [8] وحالة التصميم المثالية المعتمدة للحالات، وتم التعبير عن مؤشر الطاقة الزلزالية.

- قدمت ( R.Z. Taha) [9] دراسة لتقييم منشآت قائمة متعددة الطوابق على الزلازل في الساحل السوري وإعادة تأهيلها حيث تم استخدام التحليل الستاتيكي اللاخطي لتقييم سلوك منشآت بيتونية مسلحة قائمة ومعرفة الأداء المحتمل لهذه المنشآت ثم مقارنته مع الطلب الزلزالي المتوقع عند مستوى أداء محدد من خلال مقارنة عدة متحولات للاستجابة وتبين من الدراسة ان معظم المفاصل تتشكل في الجوائز مع بعض المفاصل في الأعمدة ولكن مع أضرار متدرجة ضمن مستويات الأداء، وهو الأداء المفضل في الأبنية والذي يتوافق مع نظرية العمود القوي والجائز الضعيف.

- قام الباحث (<u>Devi, G. N.</u>) [4] بالاختبار التجريبي لجملة ثنائية من البيتون المسلح بثلاثة مجازات مؤلفة من خمسة طوابق وبمقياس تصغير حتى الربع. خضعت الجملة إلى حمولة جانبية وتم رصد أدائها اعتماداً على استطاعة مقاومة الحمولة، والصلابة، والمطاوعة واستطاعة تبديد الطاقة. غطت الدراسة كافة مراحل التحميل من المرحلة المرنة الأولية حتى مرحلة الانهيار الحدية وتم الحصول على النتائج التحليلية من برنامج العناصر المنتهية Push- من أجل حمل تدريجي ومن برنامج Over اللخطي من أجل تحليل -Over

- قام الباحثان (J. Ou Bai, J.) ابتطوير طريقة التصميم اللدن القائم على الأداء (J. Ou Bai, J.) البحثان (J. Ou Bai, J.) ابتطوير طريقة التصميم اللدن القائم على الأحارات (PBPD) من أجل الجملة الثنائية للإطارات البيتونية المسلحة المقاومة للعزوم مع تربيط مقيد على التحنيب (RC-BRBF). وتم حساب القص القاعدي بناءً على معادلة توازن الطاقة التي تأخذ بالحسبان استطاعة تبديد الطاقة المقدرة وفق نموذج Large Takeda. تم اتباع طريقة التصميم اللدن لاشتقاق القوى الداخلية

للمقاطع، وتم تحقيق المنهجية المقترحة من خلال منشآت إطارية بيتونية مؤلفة من 5 و 10 طوابق مع جملة تربيط بشكل Chevron. تم إنشاء النماذج العددية وتحقيقها لرصد الأداء الزلزالي من خلال التحليل الستاتيكي اللاخطي Pushover والتحليل بالسجلات الزمنية باستخدام الحركات الأرضية الموصى بها من قبل FEMA P695. أظهرت نتائج التحليل أن كلا البناءين يمكنه إنجاز مستوى الأداء المطلوب في كل من منحنيات الاستطاعة Capacity Curves وميكانيزم الخضوع Yield Mechanism وتوزيع الإزاحة الطابقية النسبية Story Drift Ratio Distribution والإزاحة المتبقية Residual Drift والمطاوعة الأعظمية Maximum Ductility والطلب التراكمي للمطاوعة .Demands

ستقدم هذه المقالة مقارنة سلوك الجمل الثنائية من البيتون المسلح (إطارات-جدران قص) باستخدام كل من طريقة التصميم التقليدية المتبعة في الكودات وطريقة التصميم اللدن القائم على الأداء من خلال رصد بارامترات الاستجابة في المنشأ وفق طريقة التصميم المتبعة.

#### طريقة التصميم الستاتيكية المعتمدة وفقاً للكود العربي السوري [6]:

#### 1. تحديد قوة القص القاعدى التصميمية:

تحسب من المعادلة (1):

$$V = \frac{C_v I}{RT} W \tag{1}$$

حيث: I: عامل أهمية المنشأ، و W: مجموع الأحمال الميتة و 25% من الأحمال الحية في حال المستودعات، و $C_n$ : معامل زلزالي يأخذ بالاعتبار زلزالية المنطقة وشروط تربة الموقع ويحدد من الجدول (1)، و R: معامل تعديل الاستجابة يأخذ بالاعتبار السلوك اللامرن للجملة الإنشائية، و T: دور اهتزاز المنشأ الأساسي مقدراً بالثانية، ويمكن تقديره باستخدام العلاقة التقريبية (2):

$$T = C_t (h_n)^{0.75} (2)$$

# المقارنة بين التصميم اللدن القائم على الأداء والتصميم المتبع في الكودات للجمل الثنائية من البيتون المقارنة بين التصميم اللدن القائم على الأداء والتصميم المتبع في الكودات للجمل الثنائية من البيتون

حيث:  $h_n$ : ارتفاع المنشأ من القاعدة حتى أعلى منسوب فيه مقدراً بالمتر، و $c_t$ : معامل يأخذ القيمة 0.0731 للإطارات الفولاذية المقاومة للعزوم و0.0731 للإطارات الخرسانية المسلحة المقاومة للعزوم وللإطارات المربّطة لا مركزياً و0.0488 للأبنية الأخرى كافة.

يجب ألا تزيد قوة القص القاعدي المحسوبة وفق العلاقة (1) عن قوة القص القاعدي المحسوبة وفق العلاقة (3):

$$V = \frac{2.5C_a I}{R} W \tag{3}$$

$$V = 0.11C_a IW (4)$$

كما يجب ألا تقل قوة القص القاعدي المحسوبة وفق العلاقة (1) عن القوة المحسوبة وفق العلاقة (5) في المناطق ذات الشدة الزلزالية العالية (المنطقة الرابعة):

$$V = \frac{0.8ZN_vI}{R}W\tag{5}$$

حيث  $C_a$ : معامل زلزالي يأخذ بالاعتبار زلزالية المنطقة وشروط تربة الموقع ويحدد من الجدول (2)، و  $N_v$ : معامل القرب من المصدر الزلزالي ويعتمد على درجة القرب من صدع نشط.

.[6]  $C_a$  الجدول 1: قيم المعامل الزلزالي

نموذج المقطع		(Z	ة الزلزالية (	معامل المنطق	4	
الشاقولي للتربة	Z=0.075	Z=0.15	Z=0.2	Z=0.25	Z=0.3	Z=0.4
SA	0.06	0.12	0.16	0.20	0.24	0.32Na
SB	0.08	0.15	0.20	0.25	0.3	0.40Na
SC	0.09	0.18	0.24	0.29	0.33	0.40Na
SD	0.12	0.22	0.28	0.32	0.36	0.44Na
SE	0.19	0.30	0.34	0.35	0.36	0.36Na
SF		•	حوظة (1)	أنظر الما	•	

.[6]  $C_v$  الجدول 2: قيم المعامل الزلزالي (6].

نموذج المقطع		(Z	ة الزلزالية (	معامل المنطق	4	
الشاقولي للتربة	Z=0.075	Z=0.15	Z=0.2	Z=0.25	Z=0.3	Z=0.4
SA	0.06	0.12	0.16	0.20	0.24	0.32Na
SB	0.08	0.15	0.20	0.25	0.30	0.40Na
SC	0.13	0.25	0.32	0.38	0.45	0.56Na
SD	0.18	0.32	0.40	0.47	0.54	0.64Na
SE	0.26	0.50	0.64	0.74	0.84	0.96Na
SF			حوظة (1)	أنظر الما		

الملحوظة (1): لتحديد المعاملات الزلزالية للتربة ذات المقطع الجانبي من النوع SF يجب إجراء تحريات ودراسات جيوتكنيكية وحقلية واجراء التحليل الديناميكي لاستجابة الموقع.

حيث: Z معامل زلزالية المنطقة: ويمثل زلزالية المنطقة التي يقع فيها المنشأ ويساوي القيمة العظمى لتسارع حركة الأرض الناتج عن الزلزال في المنطقة المدروسة PGA مقسوماً على تسارع الجاذبية الأرضية، و S نموذج المقطع الشاقولي للتربة.

#### 2. توزيع قوة القص القاعدي ٧ على الطوابق:

يتم توزيع القوة الزلزالية الكلية على ارتفاع المنشأ كما يوضح الشكل (2) وفق العلاقات (6) و (7) و (8) وذلك في حال عدم توفر إجراء أكثر دقة:

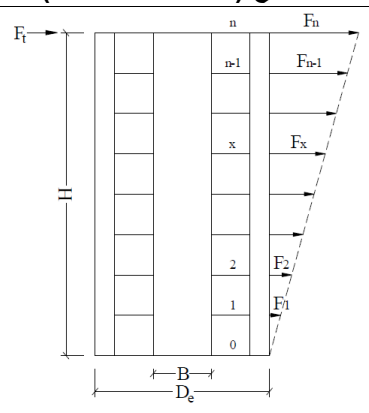
$$V = F_t + \sum_{i=1}^n F_i \tag{6}$$

$$F_t = 0.07TV \le 0.25V \tag{7}$$

$$F_{x} = \frac{(V - F_t)W_x h_x}{\sum_{i=1}^{n} W_i h_i} \tag{8}$$

حيث:  $F_t$ : القوة المركزة عند القمة بالإضافة إلى  $F_n$  ويجب ألا تتجاوز قيمة  $F_t$  المعتمدة  $0.7~{\rm sec}$  ويمكن أخذها مساوية للصفر عندما يكون دور الاهتزاز أقل أو يساوي  $0.25{\rm V}$  أما الجزء المتبقي من قوة القص فيتم توزيعه على كامل ارتفاع المنشأ بما فيها المنسوب وفق العلاقة (8).

المقارنة بين التصميم اللدن القائم على الأداء والتصميم المتبع في الكودات للجمل الثنائية من البيتون المسلح (إطارات-جدران قص)



الشكل 2 توزع القوى الزلزالية التصميمية F المطبقة في الطوابق [6].

# طريقة التصميم اللدن القائم على الأداء Performance- Based Plastic Design طريقة التصميم اللدن القائم على الأداء Method:

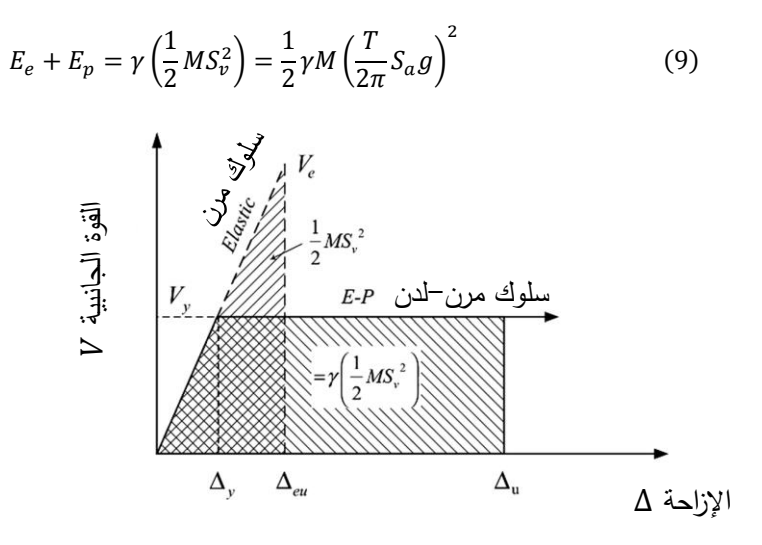
#### 1. أهداف الأداء:

(Target Drift) إن الخطوة الأولى في طريقة PBPD هي اختيار الإزاحة المستهدفة (Target Drift) كأهداف أداء رئيسية. إن ميكانيزم الخضوع وميكانيزم الخضوع (Yield Mechanism) (Yield Mechanism) هو خضوع أو المرغوب من أجل الجمل الثنائية من البيتون المسلح (إطارات-جدران قص) هو خضوع أو تشكل مفاصل لدنة في قواعد الأعمدة وجدران القص في الطابق السفلي أولاً عند اتصالها مع القاعدة ويتبعها في بقية الطوابق تشكل مفاصل لدنة انعطافية في الجوائز مع بقاء الأعمدة والجدران سليمة. وبعد اختيار الآلية المناسبة لتطور المفاصل اللدنة يمكن اختيار الانتقال الهدف المتمثل بالدوران أو الانتقال عند الانهيار  $\theta_u$  والانتقال الهدف =  $\theta_v$  من أجل هزة أرضية باحتمال تجاوز 10% خلال 50 عام، وأن يكون الانزياح عند الخضوع  $\theta_v$  وذلك من أجل جملة إطارية معدنية بسلوك مرن لدن وحلقة هيستيرية كاملة. أما من أجل منشآت من البيتون المسلح والتي تتميز بحلقة هيستيرية غير هيمتنا استخدام العامل  $C_2 = 1.2$  المعتمد في حساب الانتقال الهدف وفق مكتملة يمكننا استخدام العامل أثر الحلقة الهيستيرية غير المكتملة وتناقص

الصلابة والمقاومة على الانتقال الأعظمي وبالتالي يعمل على تعديل قيمة الانتقال الأعظمي المستهدف وبالتالي نعتمد  $heta_u^* = heta_u^* / C_2$  كانتقال هدف من أجل الجمل البيتونية.

#### 2. حساب قوة القص القاعدي V:

يحسب القص القاعدي بطريقة التصميم اللدن القائم على الأداء عبر مساواة الطاقة المطلوبة لدفع المنشأ بشكل تدريجي إلى الانتقال المستهدف مع الطاقة المطلوبة لجملة مرنة لدنة بدرجة واحدة للحرية لإنجاز نفس الانتقال؛ الشكل (3). تعبر المعادلة (9) عن معادلة العمل-الطاقة:



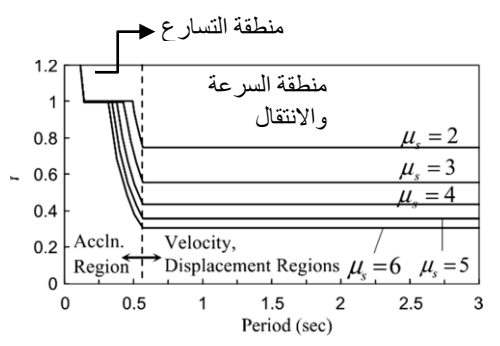
الشكل 3 الاستجابة المعدلة إنشائياً ومبدأ توازن الطاقة [1].

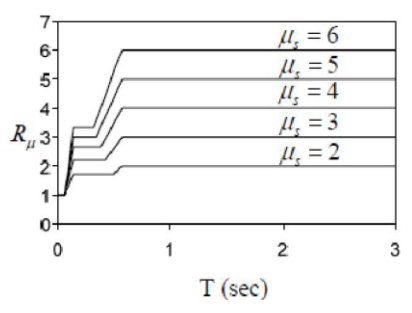
حيث:  $E_{e}$  و  $E_{n}$  مركبتا الطاقة المرنة واللدنة المطلوبة لدفع المنشأ إلى الانتقال الهدف على الترتيب، و M كتلة المنشأ، و  $S_v$  السرعة الزائفة و  $S_a$  التسارع الزائف التصميمي، و T دور الاهتزاز الأساسي للمنشأ، و g تسارع الجاذبية الأرضية، و  $\gamma$  عامل تعديل الطاقة الذي يعتمد على كل من الطلب على المطاوعة  $\mu$  وعامل خفض المطاوعة  $R_{\mu}$  ويحسب بالعلاقة :(10)

$$\gamma = \frac{2\mu_s - 1}{R_\mu^2} \tag{10}$$

### المقارنة بين التصميم اللدن القائم على الأداء والتصميم المتبع في الكودات للجمل الثنائية من البيتون المسلح (إطارات-جدران قص)

يمكن تحديد  $\mu$  و  $\mu$  لتبسيط الحسابات باعتماد الطيف اللامرن المثالي المقدم من قبل Newmark و Hall من أجل جملة مرنة لدنة بدرجة حرية واحدة Goel والتي تعتبر صحيحة (4)، ويمكن تحديد  $\gamma$  من العلاقة السابقة وفقاً لمخططات Lee والتي تعتبر صحيحة لمنشأ متعدد درجات الحرية، الشكل (5).





Lee وفق  $\gamma$  و بين  $\gamma$  ولا الشكل 5 العلاقة بين  $\gamma$  وا $\gamma$  وا

الشكل 4 العلاقة بين  $^{ extsf{T}}$  وفق Newmark و المال 13]

يمكن إعادة كتابة المعادلة (9) وفق المعادلة (11):

$$\frac{1}{2} = \left(\frac{W}{g}\right) \times \left(\frac{T}{2\pi} \times \frac{V_y}{W}g\right)^2 + V_y \left(\sum_{i=1}^N \lambda_i h_i\right) \theta_p = \frac{1}{2} \gamma \left(\frac{W}{g}\right) \times \left(\frac{T}{2\pi} S_a g\right)^2 \quad (11)$$

حيث:  $\theta_p = \theta_u - \theta_y$  تشير إلى المركبة اللدنة من الانتقال النسبي المستهدف، و  $V_y$  وتشير إلى الإزاحة النسبية عند الخضوع، و W الوزن الزلزالي الكلي للمنشأ، و  $V_y$  القص القاعدي عند الخضوع، و  $V_y$  نسبة توزيع القوة الجانبية، و  $v_i$  ارتفاع الطابق. وعليه يمكن الحصول على القص القاعدي المطلوب من المعادلة (12) حيث  $v_y$  معامل لا بعدي:

$$\frac{V_y}{W} = \frac{-\alpha + \sqrt{\alpha^2 + 4\gamma S_a^2}}{2} \tag{12}$$

$$; \alpha = \left[ \left( \sum_{i=1}^{N} \lambda_i h_i \right) \times \frac{\theta_p 8\pi^2}{T^2 g} \right]$$
 (13)

$$\beta_i = \frac{V_i}{V_n}$$
 (15) و  $F_i = \lambda_i V_y$  (14)

حيث:  $V_i$  و  $V_i$  هما القص الطابقي للطابق رقم i والطابق العلوي على الترتيب و n تشير إلى عدد الطوابق الكلى، و  $\lambda_i$  معامل توزيع القوة الجانبية، و  $\beta_i$  معامل توزيع القص للطابق رقم i. وبعد الحصول على قيمة  $V_{v}$  يمكن حساب القوة الجانبية المطبقة على كل طابق باستخدام المعادلة (16) المتضمنة تأثيرات P-Δ؛ ففي عملية الدفع الجانبي التدريجي للمنشأ حتى الإزاحة المستهدفة ستساهم أحمال الجاذبية بالضرر الحاصل للمنشأ طالما أن المنشأ سينخفض قليلاً نتيجة الإزاحة الجانبية، وقد اقترح Bai وآخرون [14] تضمين تأثيرات من خلال التعبير عن القوى الجانبية التصميمية بالعلاقة:  $P-\Delta$ 

$$F_i^* = F_i + F_{iP-\Delta} = \lambda_i * V_v + \theta_u * W_i$$
(16)

يعرف الطلب على المطاوعة  $\mu$  Ductility Demand بأنه النسبة بين انتقال الذروة أو الانتقال الأعظمي Maximum or Peak Displacement والموافق للانتقال الهدف للمنشأ Target Displacement إلى انتقال الخضوع Yield Displacement. إضافة لذلك يعرف عامل تخفيض المطاوعة "Ductility Reduction Factor بأنه النسبة بين القص القاعدي المرن والقص القاعدي عند الخضوع، أو يمكن تعريفه بأنه القص القاعدي في النموذج المرن مقسوماً على القص القاعدي في النموذج اللامرن في مستوى شدة زلزالية يحقق عندها المنشأ الضرر المرغوب Desired Damage. وبالاعتماد على قيمة دور الاهتزاز الأساسى للمنشأ يمكن تحديد قيمة مطاوعة المنشأ المتمثلة بالعامل  $R_{\mu}$  من الجدول :(3)

الجدول 3: قيم عامل تخفيض المطاوعة "R بدلالة دور المنشأ [1].

عامل خفض المطاوعة	مجال الدور (Period Range)
$R_{\mu}=1$	$0 \le T < \frac{T_1}{10}$
$R_{\mu} = \sqrt{2\mu - 1} \left(\frac{T_1}{4T}\right)^{2.513 \log(\frac{1}{\sqrt{2\mu - 1}})}$	$\frac{T_1}{10} \le T < \frac{T_1}{4}$
$R_{\mu} = \sqrt{2\mu - 1}$	$\frac{T_1}{4} \le T < T_1'$
$R_{\mu} = \frac{T\mu}{T_1}$	$T_1' \le T < T_1$
$R_{\mu} = \mu$	$T_1 \le T$

$$T_1 = 0.57 \ sec$$
 ,  $T_1' = T_1 \frac{\sqrt{2\mu - 1}}{u} \ sec$ 

#### 3. توزيع قوة القص القاعدى ٧ على الطوابق:

أعطى الباحثان Goel وGoel علاقات لتوزيع قوة القص القاعدية V على الطوابق بحيث تأخذ بالحسبان أثر الأنماط العليا للاهتزاز مما يعطي قوى قص طابقية أكثر منطقية إضافة إلى التوزيع المنتظم للانزياح الطابقي على كامل ارتفاع المنشأ، يتم حساب القوة الجانبية المؤثرة على كل منسوب طابق بالمعادلة (14) حيث يحسب  $\lambda_i$  معامل توزيع القوة الجانبية وفق المعادلة (17):

$$\lambda_i = (\beta_i - \beta_{i+1}) \left( \frac{W_n h_n}{\sum_{i=1}^n W_i h_i} \right)^{0.5T^{-0.2}}$$
(17)

حيث:  $W_i$  الوزن المركز في منسوب الطابق رقم i، و i ارتفاع منسوب الطابق رقم i عن القاعدة، و n تشير إلى عدد الطوابق الكلي، و  $\lambda_i$  معامل توزيع القوة الجانبية، و  $\beta_i$  معامل توزيع القص للطابق رقم i والذي يحسب وفق المعادلة (18):

$$\beta_i = \frac{V_i}{V_n} = \left(\frac{\sum_{i=1}^n W_i h_i}{W_n h_n}\right)^{0.75T^{-0.2}}$$
(18)

حيث:  $V_n$  هما القص الطابقي للطابق رقم i والطابق العلوي على الترتيب.

i=n وبوضع  $eta_{n+1}=0$  تكون حصة الطابق الأخير من القص القاعدي عندما

$$F_n = \lambda_n V_y = \left(\frac{W_n h_n}{\sum_{i=1}^n W_i h_i}\right)^{0.75T^{-0.2}} V_y \tag{19}$$

حيث:  $\beta_n=1$  وعليه يمكن حساب القوة الجانبية المؤثرة على كل منسوب طابق وفق العلاقة (20) بعد تعويض العلاقة (17) و (19) في العلاقة (14):

$$F_i = \lambda_i V_y = (\beta_i - \beta_{i+1}) F_n$$
 ;  $i = n, \beta_{n+1} = 0$  (20)

#### -هدف البحث:

يهدف البحث للمقارنة بين سلوك الجمل الثنائية من البيتون المسلح (إطارات-جدران قص) باستخدام كل من طريقة التصميم التقليدية المتبعة في الكودات وطريقة التصميم اللدن القائم على الأداء من خلال رصد بارامترات الاستجابة في المنشأ وفق طريقة التصميم المتبعة.

#### -مواد وطرق البحث:

يعتمد البحث المنهج النظري التحليلي، حيث سيتم تقديم الدراسة المرجعية وبعد الاطلاع على الأبحاث السابقة المتصلة بموضوع الدراسة، وتم اختيار ثلاثة نماذج لجمل ثنائية من البيتون المسلح (إطارات-جدران قص)، النموذج الأول مكون من 10 طوابق وارتفاع طابقي متماثل m 3، والنموذج الثاني مكون من 15 طابق وارتفاع طابقي متماثل 3m، والنموذج الثالث مكون من 20 طابق وارتفاع طابقي متماثل 3m، أجري التحليل باستعمال برنامج الثالث مكون من 20 طابق وارتفاع طابقي متماثل الله أجري التحليل باستعمال برنامج CSI ETABS 2016 ، وتم إجراء التصميم لهذه النماذج بطريقتين؛ أولاً باستخدام طريقة التصميم التقليدية المتبعة في الكود وثانياً باستخدام طريقة التصميم اللدن القائم على الأداء. ومن ثم تم تقييم ومقارنة سلوك كل من النماذج الثلاثة المصممة بالطريقتين سابقتي الذكر من خلال مقارنة أبعاد مقاطع العناصر الإنشائية وتحديد قيم الانتقالات الجانبية الأعظمية وميكانيزم الخضوع ومقارنتها في طريقتي التصميم المتبعتين، وذلك باستخدام إجراء التحليل الستاتيكي اللاخطي Pushover.

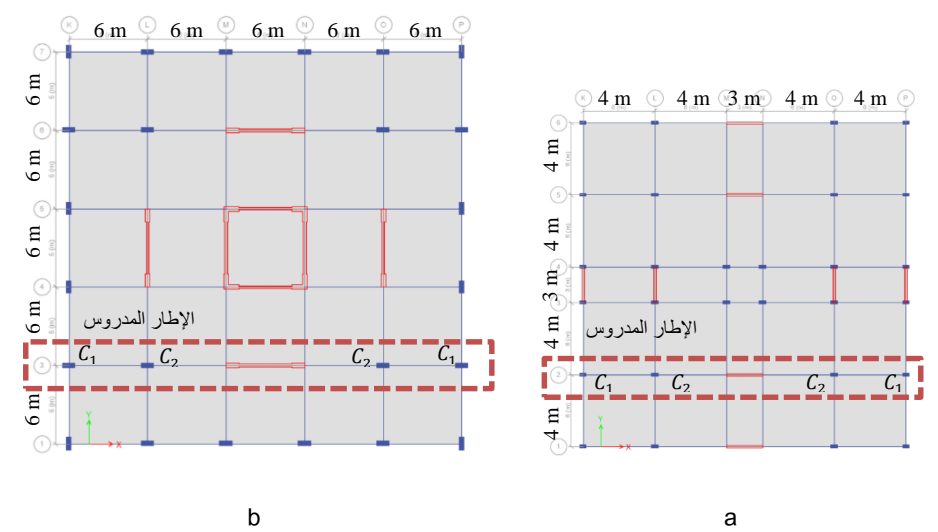
#### دراسة تطبيقية لنماذج الجمل الثنائية الثلاثة:

يتألف كل من النماذج الثلاثة من خمسة مجازات حيث أن النموذج الأول بارتفاع (10طوابق) وبارتفاع طابقي متماثل 3m، النموذج الثاني بارتفاع طابقي متماثل 3m، النموذج الثالث بارتفاع (20 طابق) وبارتفاع طابقي متماثل 3m. تم طابقي متماثل من النماذج الثلاثة بطريقتين؛ الأولى طريقة التصميم التقليدية المتبعة في الكود والثانية باستخدام طريقة التصميم اللدن القائم على الأداء. ومن ثم تم تقييم نتائج التصميم باستعمال برنامج CSI ETABS 2016 حيث تمت نمذجة الأعمدة والجيزان كعناصر خطية باستعمال برنامج وانمذجة جدران القص كعناصر سطحية العامدة والجيزان كعناصر خطية كعناصر موثوقة، ومن ثم أجري تحليل إنشائي ستاتيكي لا خطي للنماذج المذكورة، للحصول على رؤية كاملة لتوصيف الحالة وسلوك كل ومنها ومقارنة هذا السلوك لكل من طريقتي التصميم المتبعتين.

#### مواصفات النماذج:

نموذج المقطع الشاقولي للتربة ( $S_D$ ) وقدرة تحمل التربة  $3kg/cm^2$ ، نقع النماذج الثلاثة في المنطقة الزلزالية 2C حيث التسارع الارضي 0.25g، عامل أهمية المبنى I=1، يوضح الشكل ( $\delta$ ) المساقط الأفقية للطابق المتكرر للنماذج المختارة والإطار المدروس في كل منها مع توضيح الأبعاد بين المحاور، وتم اعتماد المواصفات التالية لمواد البناء.

. Fyw=2400 kg/cm<sup>2</sup>  $^{\circ}$  Fy = 4000 kg/cm<sup>2</sup>  $^{\circ}$  f'c = 250 kg/cm<sup>2</sup>



الشكل 6: المسقط الأفقى للنماذج: a: بـ 10 طوابق b: بـ 15 و 20 طابق؛ [عمل الباحث].

#### نمذجة المنشأ:

تمت النمذجة والتصميم الأولي للمنشأ وفق الكود التصميمي باستخدام برنامج ETABS من أجل المعطيات الزلزالية للموقع وتم الحصول على المقاطع التصميمية للعناصر.

الجدول 4: بارامترات وقيم التصميم وفق الكود من أجل الإطار بـ 10 طوابق.

					10 STO	RY CODI	E DESIGN	١				
عمود	تداري المخف ال	القص ج			ں جدار	القص			الأعمدة			
العرضي التسليح	الملط التاح	العرض	الطول	ةشىلىح	المنطقة تسليح شاقمات أفف		الطول	العرض التسليح	الطواب التسليح	الأعاد(cm)	ىلىم	الطاق
العرطي السنتين	الطوفي السمنين	(cm)	(cm)	أفقي	(cm) شاقواب		(cm)	المرطعي السحنين	الطوف السنتيح	ועיש ב(נווו)	العمود	
3T8/10-15	14T14 mm	30	60	6T12/m	7T14/m	30	300	4T8/10-15	20T20 mm	45*100	C1	1-4
318/10-13	14114111111	30	80	0112/111	7114/111	30	300	4T8/10-15	24T20 mm	50*100	C2	1-4
2T8/10-15	12T14 mm	25	60	6T12/m	7T12/m	25	300	3T8/10-15	20T16 mm	40*80	C1	5-7
218/10-13	1211411111	23	00	0112/111	7112/111	23	300	3T8/10-15	20T16 mm	40*80	C2	5-7
2T8/10-15	8T14 mm	20	60	6T12/m	7T12/m	20	300	2T8/10-15	14T14 mm	30*70	C1	8-10
210/10-15	0114	20	00	0112/111	/ 1 12/111	20	300	2T8/10-15	14T14 mm	30*70	C2	9-10

# مجلة جامعة حمص سلسلة العلوم الهندسية المدنية والمعمارية المجلد 47 العدد 5 عام 2025 حسان عيسى د.علي تريكية د.قصي نداف

توضح الجداول (4) و (5) و (6) أبعاد المقاطع العرضية لكل من الأعمدة والجدران مع التسليح المطلوب لكل منها (التسليح الطولي والتسليح العرضي) وفق الطريقة الستاتيكية المكافئة الموضحة أعلاه والمعتمدة في الكود العربي السوري لتصميم وتحقيق المنشآت البيتونية على الزلازل.

الجدول 5: بارامترات وقيم التصميم وفق الكود من أجل الإطار بـ 15 طابق.

					15 STO	RY CODI	DESIGN	١				
عمود	تدارهي المخفي الم	القص ج			ں جدار	القص			الأعمدة			
العرضي التسليح	الطواب التسليح	العرض (cm)	الطول (cm)	<b>O</b>	المنطقة شبليح الوبطية شاقولي أهي		الطول (cm)	العرضي التسليح	الطواب التسليح	الأباد(cm)	لليم العمود	الطاق
6T8/10-15	24T20 mm	40	120	6T12/m	7T16/m	40	600	5T8/10-15	24T18 mm	50*100	C1	1-3
010/10 15	24120 11111	40	120	0112/111	7110/111	40	000	5T8/10-15	28T25 mm	55*130	C2	1 3
6T8/10-15	24T18 mm	35	120	6T12/m	7T14/m	35	600	5T8/10-15	22T18 mm	45*100	C1	4-6
018/10-13	24118111111	3	120	0112/111	7114/111	33	000	5T8/10-15	28T20 mm	50*120	C2	4-0
5T8/10-15	22T16 mm	30	120	6T12/m	7T14/m	30	600	5T8/10-15	20T16 mm	40*100	C1	7-9
318/10-13	22110111111	30	120	0112/111	/114/111	30	000	5T8/10-15	24T20 mm	40*120	C2	7-3
5T8/10-15	22T14 mm	25	120	6T12/m	7T12/m	25	600	5T8/10-15	18T16 mm	40*80	C1	10-12
310/10-13	22114111111	23	120	0112/111	/ 112/111	23	000	5T8/10-15	20T16 mm	40*100	C2	10-12
4T8/10-15	18T14 mm	20	120	6T12/m	7T10/m	20	600	5T8/10-15	16T16 mm	40*60	C1	13-15
410/10-13	10114 111111	20	120	0112/111	/110/111	20	000	5T8/10-15	18T16 mm	40*80	C2	13-13

الجدول 6: بارامترات وقيم التصميم وفق الكود من أجل الإطار بـ 20 طابق.

					20 STO	RY CODI	E DESIGN	٧				
عمود	تدارهي المخفي ال	القص ج			ں جدار	القص			الأعمدة			
العرض التسليح	الطمط التبيارج	العرض	الطول	قشبليح	المنطق	السماكة	الطول	العرض التسليح	الطواب التسليح	الأعاد(cm)	ىلىم	الطاق
القرطي المستين	الحدوث العنديين	(cm)	(cm)	أفغي	شاقولي	(cm)	(cm)	العرضي المتحقين	الحدوي العنديين	(6111)5(43)	العمود	
6T8/10-15	30T20 mm	45	120	6T12/m	7T16/m	45	600	5T8/10-15	32T20 mm	60*120	C1	1-4
018/10-13	3012011111	43	120	0112/111	7110/111	43	000	5T8/10-15	38T25 mm	60*140	C2	1-4
6T8/10-15	24T20 mm	40	120	6T12/m	7T16/m	40	600	5T8/10-15	24T20 mm	55*100	C1	5-8
018/10-13	24120111111	40	120	0112/111	/110/111	40	000	5T8/10-15	32T20 mm	55*120	C2	3-8
6T8/10-15	24T18 mm	35	120	6T12/m	7T14/m	35	600	5T8/10-15	24T16 mm	45*100	C1	9-12
018/10-13	24116111111	33	120	0112/111	/114/111	33	600	5T8/10-15	30T20 mm	45*120	C2	9-12
5T8/10-15	22716	30	120	6T12/m	7714/22	30	600	5T8/10-15	16T16 mm	40*80	C1	12.16
518/10-15	22T16 mm	30	120	6112/111	/114/III	30	600	5T8/10-15	26T16 mm	40*100	C2	13-16
5T8/10-15	22T14 mm	25	120	6T12/m	7T12/m	25	600	5T8/10-15	12T16 mm	30*80	C1	17-20
310/10-15	22114 [[[[[]	25	120	0112/111	/112/111	25	600	5T8/10-15	24T16 mm	40*80	C2	17-20

تم إجراء تحليل PBPD باستخدام حسابات يدوية وفق منهجية الطريقة الموضحة بالمعادلات من (9) إلى (20) على النماذج الثلاثة السابقة، وتبين الجداول (7) و(8) و(9) حساب وتوزيع الحمل الجانبي على ارتفاع الإطار بـ 10 -15 -20 طابق على الترتيب وفق طربقة PBPD.

# المقارنة بين التصميم اللدن القائم على الأداء والتصميم المتبع في الكودات للجمل الثنائية من البيتون المقارنة بين المقارنة بين المسلح (إطارات-جدران قص)

#### الجدول 7: بارامترات وقيم التصميم من أجل الإطار بـ 10 طوابق وفق طريقة PBPD.

					10 Stor	ies							
Vi (ton)	$F_i *= Fi + F_{iP-\Delta}$ قوة القص الطابقي (kN)	$F_{iP-\Delta} = \theta u * Wi$ P-delta إدخال تأثير (kN)	-	λi * hi	λί	$\beta i - \beta (i+1)$	βί	ΣWi*hi (kN.m)	Wi*hi (kN.m)	(wi) (kN/m)	(Wi) (kN)	hi (m)	story (i)
336.1	336.1	35.6	300.5	8.07	0.27	1.00	1.00	53460	53460	66	1782	30	10
563.9	227.8	35.6	192.1	4.64	0.17	0.64	1.64	101574	48114	66	1782	27	9
752.6	188.7	35.6	153.1	3.29	0.14	0.51	2.15	144342	42768	66	1782	24	8
913.7	161.1	35.6	125.4	2.36	0.11	0.42	2.57	181764	37422	66	1782	21	7
1052.1	138.5	35.6	102.8	1.66	0.09	0.34	2.91	213840	32076	66	1782	18	6
1170.7	118.6	35.6	83.0	1.11	0.07	0.28	3.18	240570	26730	66	1782	15	5
1271.2	100.5	35.6	64.9	0.70	0.06	0.22	3.40	261954	21384	66	1782	12	4
1354.7	83.5	35.6	47.8	0.39	0.04	0.16	3.56	277992	16038	66	1782	9	3
1421.9	67.2	35.6	31.5	0.17	0.03	0.10	3.66	288684	10692	66	1782	6	2
1473.2	51.3	35.6	15.7	0.04	0.01	0.05	3.72	294030	5346	66	1782	3	1
	1473.2			22.43	1.00	3.72	27.79				17820		Σ

#### الجدول 8: بارامترات وقيم التصميم من أجل الإطار بـ 15 طابق وفق طريقة PBPD.

					15 Stor	ies							
	$F_i *= Fi + F_{iP-\Delta}$	$F_{iP-\Delta} = \theta u * Wi$	$Fi = \lambda i * Vy$	12 . 12		0: 0(: 1)	Вi	ΣWi*hi	Wi*hi	(wi)	(Wi)	hi	storv
Vi (ton)	قوة القص الطابقي	الدخال تأثير P-delta	STORY	λi * hi	λūli	$\beta i - \beta (i+1)$	рι	(kN.m)	(kN.m)	(kN/m)	(kN)	(m)	(i)
	(kN)	(kN)	FORCE (kN)					` ′	` '	` ′	` '	` ′	
481.7	481.7	39.6	442.1	9.80	0.22	1.00	1.00	89100	89100	66	1980	45	15
796.0	314.3	39.6	274.7	5.68	0.14	0.62	1.62	172260	83160	66	1980	42	14
1059.2	263.2	39.6	223.6	4.30	0.11	0.51	2.13	249480	77220	66	1980	39	13
1289.0	229.8	39.6	190.2	3.37	0.09	0.43	2.56	320760	71280	66	1980	36	12
1493.2	204.2	39.6	164.6	2.68	0.08	0.37	2.93	386100	65340	66	1980	33	-11
1676.1	182.9	39.6	143.3	2.12	0.07	0.32	3.25	445500	59400	66	1980	30	10
1840.3	164.2	39.6	124.6	1.66	0.06	0.28	3.54	498960	53460	66	1980	27	9
1987.7	147.4	39.6	107.8	1.27	0.05	0.24	3.78	546480	47520	66	1980	24	8
2119.6	131.9	39.6	92.3	0.95	0.05	0.21	3.99	588060	41580	66	1980	21	7
2236.9	117.3	39.6	77.7	0.69	0.04	0.18	4.16	623700	35640	66	1980	18	6
2340.4	103.5	39.6	63.9	0.47	0.03	0.14	4.31	653400	29700	66	1980	15	5
2430.5	90.1	39.6	50.5	0.30	0.02	0.11	4.42	677160	23760	66	1980	12	4
2507.7	77.2	39.6	37.6	0.17	0.02	0.09	4.51	694980	17820	66	1980	9	3
2572.2	64.5	39.6	24.9	0.07	0.01	0.06	4.56	706860	11880	66	1980	6	2
2624.2	52.0	39.6	12.4	0.02	0.01	0.03	4.59	712800	5940	66	1980	3	1
	2624.2			33.55	1.00	4.59	51.35				29700		Σ

#### الجدول 9: بارامترات وقيم التصميم من أجل الإطار بـ 20 طابق وفق طريقة PBPD.

					20 Stor	ies							
Vi (ton)	$F_i *= Fi + F_{iP-\Delta}$ قوة القص الطابقي			λi * hi	λ <b>iλi</b>	$\beta i - \beta (i+1)$	βί	ΣWi*hi (kN.m)	Wi*hi (kN.m)	(wi) (kN/m)	(Wi) (kN)	hi (m)	story (i)
	(kN)	(kN)	FORCE (kN)									<u> </u>	
710.0	710.0	39.6	670.4	11.73	0.20	1.00	1.00	118800	118800	66	1980	60	20
1144.9	434.9	39.6	395.3	6.57	0.12	0.59	1.59	231660	112860	66	1980	57	19
1505.7	360.8	39.6	321.2	5.06	0.09	0.48	2.07	338580	106920	66	1980	54	18
1820.7	315.1	39.6	275.5	4.10	0.08	0.41	2.48	439560	100980	66	1980	51	17
2102.2	281.5	39.6	241.9	3.39	0.07	0.36	2.84	534600	95040	66	1980	48	16
2356.9	254.6	39.6	215.0	2.82	0.06	0.32	3.16	623700	89100	66	1980	45	15
2588.8	232.0	39.6	192.4	2.36	0.06	0.29	3.45	706860	83160	66	1980	42	14
2800.9	212.1	39.6	172.5	1.96	0.05	0.26	3.71	784080	77220	66	1980	39	13
2995.2	194.3	39.6	154.7	1.62	0.05	0.23	3.94	855360	71280	66	1980	36	12
3173.1	177.9	39.6	138.3	1.33	0.04	0.21	4.14	920700	65340	66	1980	33	11
3335.9	162.8	39.6	123.2	1.08	0.04	0.18	4.33	980100	59400	66	1980	30	10
3484.4	148.5	39.6	108.9	0.86	0.03	0.16	4.49	1033560	53460	66	1980	27	9
3619.4	135.0	39.6	95.4	0.67	0.03	0.14	4.63	1081080	47520	66	1980	24	8
3741.4	122.0	39.6	82.4	0.50	0.02	0.12	4.75	1122660	41580	66	1980	21	7
3850.8	109.5	39.6	69.9	0.37	0.02	0.10	4.86	1158300	35640	66	1980	18	6
3948.2	97.3	39.6	57.7	0.25	0.02	0.09	4.94	1188000	29700	66	1980	15	5
4033.7	85.5	39.6	45.9	0.16	0.01	0.07	5.01	1211760	23760	66	1980	12	4
4107.5	73.8	39.6	34.2	0.09	0.01	0.05	5.06	1229580	17820	66	1980	9	3
4169.8	62.3	39.6	22.7	0.04	0.01	0.03	5.10	1241460	11880	66	1980	6	2
4220.8	50.9	39.6	11.3	0.01	0.00	0.02	5.11	1247400	5940	66	1980	3	1
	4220.8			44.97	1.00	5.11	76.66				39600		Σ

حيث:  $h_i$ : ارتفاع الطابق i عن منسوب قاعدة البناء،  $W_i$ : وزن الطابق i: معامل توزيع القص للطابق رقم i، i معامل توزيع القوة الجانبية للطابق رقم i دصة توزيع الطابق رقم i من القوة الجانبية،  $V_i$ : القص في الطابق رقم i

$$V_i = \sum_{i}^{n} F_i \tag{21}$$

ومن ثم تم تصميم العناصر الإنشائية للإطارات الثلاثة اعتماداً على القوى التصميمية الناتجة عن تراكب الحمولات الجانبية  $F_i$  المحسوبة وفق الجداول (7) و (8) و (9) مع الأحمال الشاقولية المؤثرة على المنشأ وفق حصة الإطار المدروس والتي بلغت من أجل حالتي التصميم المعتمدتين  $11 \, kN/m^2$  للحمولات الميتة الموزعة على مساحة الطابق متضمنة الوزن الذاتي للعناصر و $2 \, kN/m^2$  للحمولات الحية الموزعة على مساحة الطابق. توضح الجداول (10) و (11) و (12) أبعاد المقاطع العرضية لكل من الأعمدة والجدران مع التسليح المطلوب لكل منها (التسليح الطولي والتسليح العرضي) وفق طريقة التصميم اللدن القائم على الأداء [PBPD].

الجدول 10: بارامترات وقيم التصميم وفق طريقة PPBD من أجل الإطار بـ 10 طوابق.

• • •	, ,	•		_			•	, . ,		• •		•
					10 STO	RY PBPE	DESIG	N				
عمود	ندارهي المخفي الم	القص ج			ں جدار	القص			الأعمدة			
العرضي التسليح	~ 1 -41 1-141	العرض	الطول	السماكة المنطقة تسليح (cm) شاقعات أفقى		الطول	العرض التسليح	الطواب التسليح	الأعاد(cm)	ىلىم	الطاق	
العرضي السنتيح	الطوف السنين	(cm)	(cm)	أفغي	شاقولي	(cm)	(cm)	العرضي السنليح	الطوفي السبليح	الانجاد(۱۱۱)	العمود	
3T8/10-15	12T14 mm	25	60	6T12/m	7T14/m	25	300	4T8/10-15	18T18 mm	40*80	C1	1-4
310/10-13	1211411111	25	60	0112/111	/114/111	25	300	4T8/10-15	18T18 mm	40*100	C2	1-4
2T8/10-15	10T14 mm	25	60	6T12/m	7T12/m	25	300	3T8/10-15	16T14 mm	30*80	C1	5-7
218/10-13	1011411111	23	00	0112/111	/112/111	23	300	3T8/10-15	16T16 mm	30*100	C2	3-7
2T8/10-15	8T14 mm	20	60	6T12/m	7T12/m	20	300	2T8/10-15	16T14 mm	30*70	C1	8-10
210/10-13	0114	20	00	0112/111	/ 1 1 2 / 111	20	300	2T8/10-15	16T14 mm	30*70	C2	0-10

الجدول 11: بارامترات وقيم التصميم وفق طريقة PPBD من أجل الإطار بـ 15 طابق.

					15 STO	RY PBPE	DESIGN	N				
عمود	تدارهي المخفي ال	القص ج			ں جدار	القص			الأعمدة			
العرضي التسليح	~ I -II I-I-II	العرض	الطول	قشىلىح	المنطقا	للبيماكة	الطول	العرضي التسليح	الطواب التسليح	الأعاد(cm)	ىلىم	الطاق
العرضي السنليح	الطوفي السنين	(cm)	(cm)	أفغي	شاقولي	(cm)	(cm)	العرضي السنتيح	الطوفي السنتيح	الافهاد(۱۱۱۱)	العمود	
5T8/10-15	22T16 mm	30	120	6T14/m	7T16/m	30	600	5T8/10-15	24T18 mm	45*100	C1	1-3
316/10-13	22110111111	30	120	0114/111	/110/111	30	600	5T8/10-15	26T20 mm	50*120	C2	1-3
5T8/10-15	22T16 mm	30	120	6T12/m	7T14/m	30	600	5T8/10-15	22T18 mm	40*100	C1	4-6
316/10-13	22110111111	30	120	0112/111	/114/111	30	600	5T8/10-15	26T20 mm	45*120	C2	4-6
5T8/10-15	22T14 mm	25	120	6T12/m	7T12/m	25	600	5T8/10-15	20T16 mm	35*100	C1	7-9
316/10-13	22114111111	25	120	0112/111	/112/111	25	600	5T8/10-15	24T18 mm	35*120	C2	7-9
5T8/10-15	22T14 mm	25	120	6T12/m	7T12/m	25	600	5T8/10-15	18T16 mm	30*80	C1	10-12
310/10-15	22114 [[[[[]	25	120	0112/111	/112/111	25	600	5T8/10-15	22T16 mm	35*100	C2	10-12
4T8/10-15	18T14 mm	20	120	6T12/m	7T10/m	20	600	5T8/10-15	16T16 mm	30*70	C1	13-15
410/10-15	10114 [[][[]	20	120	0112/111	/ 1 ±0/III	20	600	5T8/10-15	20T16 mm	35*80	C2	12-12

### المقارنة بين التصميم اللدن القائم على الأداء والتصميم المتبع في الكودات للجمل الثنائية من البيتون المسلح (إطارات-جدران قص)

الجدول 12: بارامترات وقيم التصميم وفق طريقة PPBD من أجل الإطار بـ 20 طابق.

					20 STO	RY PBPE	DESIGN	N				
عمود	تداري المخفي ال	القص ج			ں جدار	القص			الأعمدة			
العرضي التسليح	الطيط التبيليج	العرض	الطول	قشبليح		السماكة	الطول	العرض التسليح	الطواب التسليح	الأعاد(cm)	ىلىم	الطاق
. ترحي	. ــــوي . ـــــــــــــــــــــــــــــ	(cm)	(cm)	أفقي	شاقولي	(cm)	(cm)	.برغي الصحيي	. ــــوي . ـــــدين	(0111/2-421	العمود	
6T8/10-15	24T20 mm	40	120	6T12/m	7T16/m	40	600	5T8/10-15	30T20 mm	60*100	C1	1-4
010/10-13	24120111111	40	120	0112/111	7110/111	40	000	5T8/10-15	30T25 mm	55*130	C2	1-4
6T8/10-15	24T18 mm	35	120	6T12/m	7T14/m	35	600	5T8/10-15	24T20 mm	50*100	C1	5-8
016/10-13	24116111111	33	120	0112/111	7114/111	33	600	5T8/10-15	32T20 mm	50*120	C2	3-6
5T8/10-15	22T16 mm	30	120	6T12/m	7T14/m	30	600	5T8/10-15	24T16 mm	45*100	C1	9-12
316/10-13	22110111111	30	120	0112/111	7114/111	30	600	5T8/10-15	30T20 mm	45*120	C2	9-12
5T8/10-15	22T14 mm	25	120	6T12/m	7T12/m	25	600	5T8/10-15	16T16 mm	40*80	C1	13-16
310/10-15	22114 [[[[[]	25	120	0112/111	/112/111	25	600	5T8/10-15	26T16 mm	40*100	C2	12-10
4T8/10-15	10T14	20	120	CT12/m	7T10/m	20	600	5T8/10-15	12T16 mm	30*80	C1	17 20
418/10-15	18T14 mm	20	120	6T12/m	/110/m	20	600	5T8/10-15	24T16 mm	40*80	C2	17-20

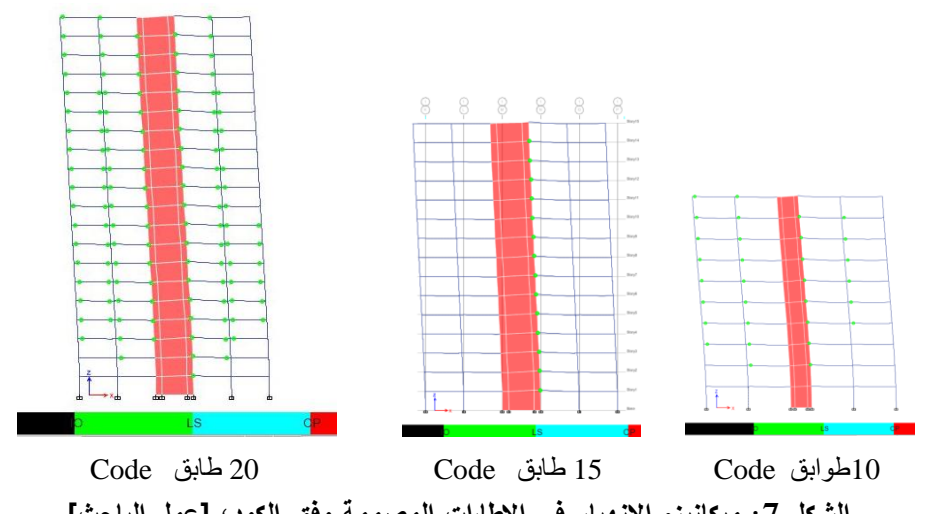
#### -النتائج ومناقشتها:

تم تصميم ثلاثة إطارات بجمل ثنائية بيتونية (إطارات-جدار قص) مؤلفة من 10 و 15 و 20 طابق وفق كود التصميم الزلزالي بشكل أولي، ومن ثم تم تصميم هذه الإطارات وفق طريقة التصميم اللدن القائم على الأداء PBPD المقترحة. وكانت أدوار الاهتزاز الأساسية للإطارات الثلاثة 1.095 و 1.118 و 1.549 ثانية على الترتيب. وبعد ذلك تم رصد سلوك هذين النوعين من الإطارات تحت تأثير التحليل الستاتيكي اللاخطي Pushover والمبين فيما يأتي.

وبما أن كل من الإطارات السابقة المعتمدة على الكود لم تحقق معيار القبول acceptance وبما أن كل من الإطارات المصممة وفق (criteria (نمط انهيار غير مرغوب)، ومن الجدير بالذكر أن الإطارات المصممة وفق طريقة (PBPD أفضل من تلك المصممة وفق طريقة الكود، كما أظهرت نتائج التقييم لطريقة (PBPD مستوىً مقبولاً من الأداء الزلزالي.

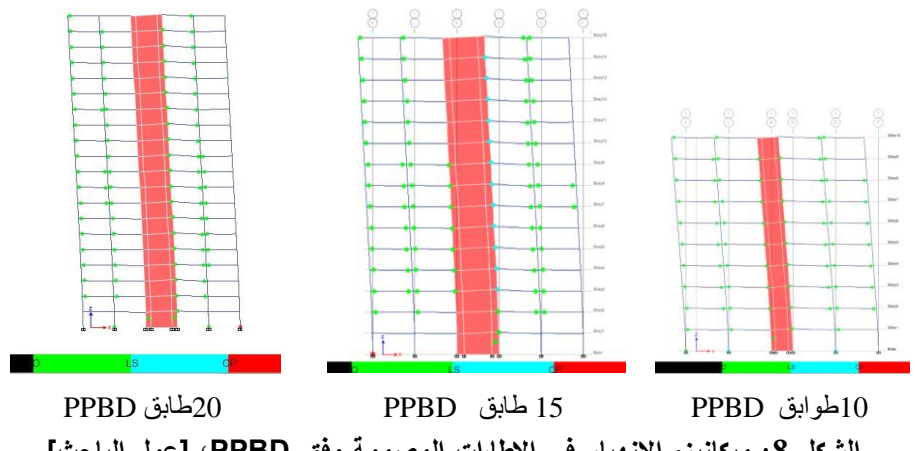
تم إجراء التحليل الستاتيكي اللاخطي باستخدام برنامج العناصر المنتهية 2016 على الإطارات الثلاثة المصممة وفق طريقة PBPD وطريقة الكود. فيما يلي نعرض النتائج التي تتضمن مكان تشكل المفصل اللدن Location of Plastic Hinges وميكانيزم الانهيار الحاصل، والإزاحة الطابقية الكلية عند نقطة الأداء ومقارنة أبعاد المقاطع للعناصر الإنشائية في كلا نوعي الإطارات.

يبين الشكل (7) ميكانيزم الانهيار الموافق للإطارات المؤلفة من 10 15 و 20 طابقاً والمصممة وفق طريقة الكود اعتماداً على نتائج تحليل التحليل الستاتيكي اللاخطي .Pushover



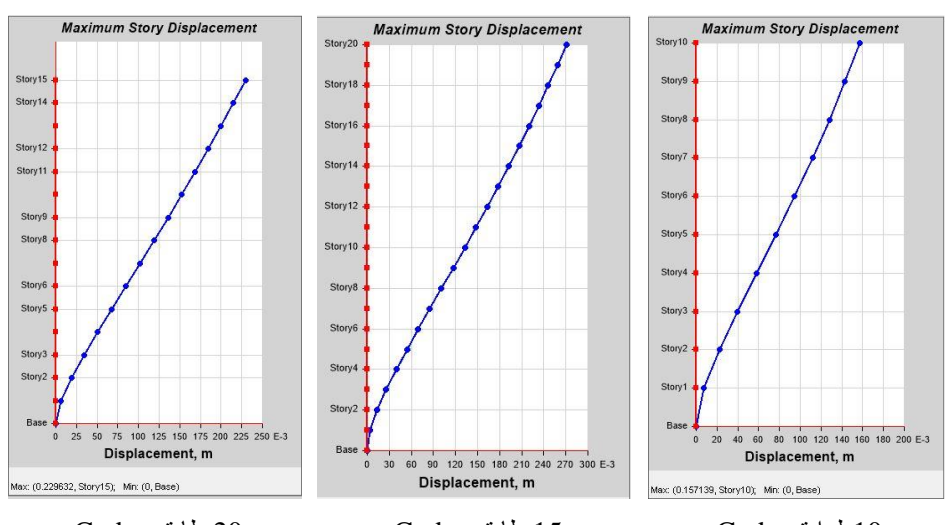
الشكل 7: ميكانيزم الانهيار في الإطارات المصممة وفق الكود؛ [عمل الباحث].

ويبين الشكل (8) ميكانيزم الانهيار الموافق للإطارات المؤلفة من 10 15 و 20 طابقاً والمصممة وفق طريقة PPBD اعتماداً على نتائج تحليل التحليل الستاتيكي اللاخطي .Pushover

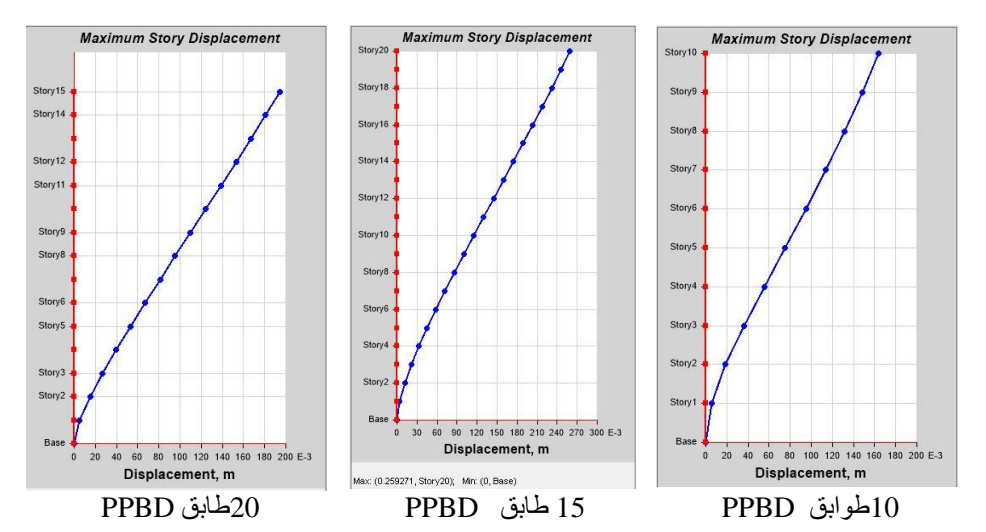


الشكل 8: ميكانيزم الانهيار في الإطارات المصممة وفق PPBD؛ [عمل الباحث].

# المقارنة بين التصميم اللدن القائم على الأداء والتصميم المتبع في الكودات للجمل الثنائية من البيتون المسلح (إطارات-جدران قص)



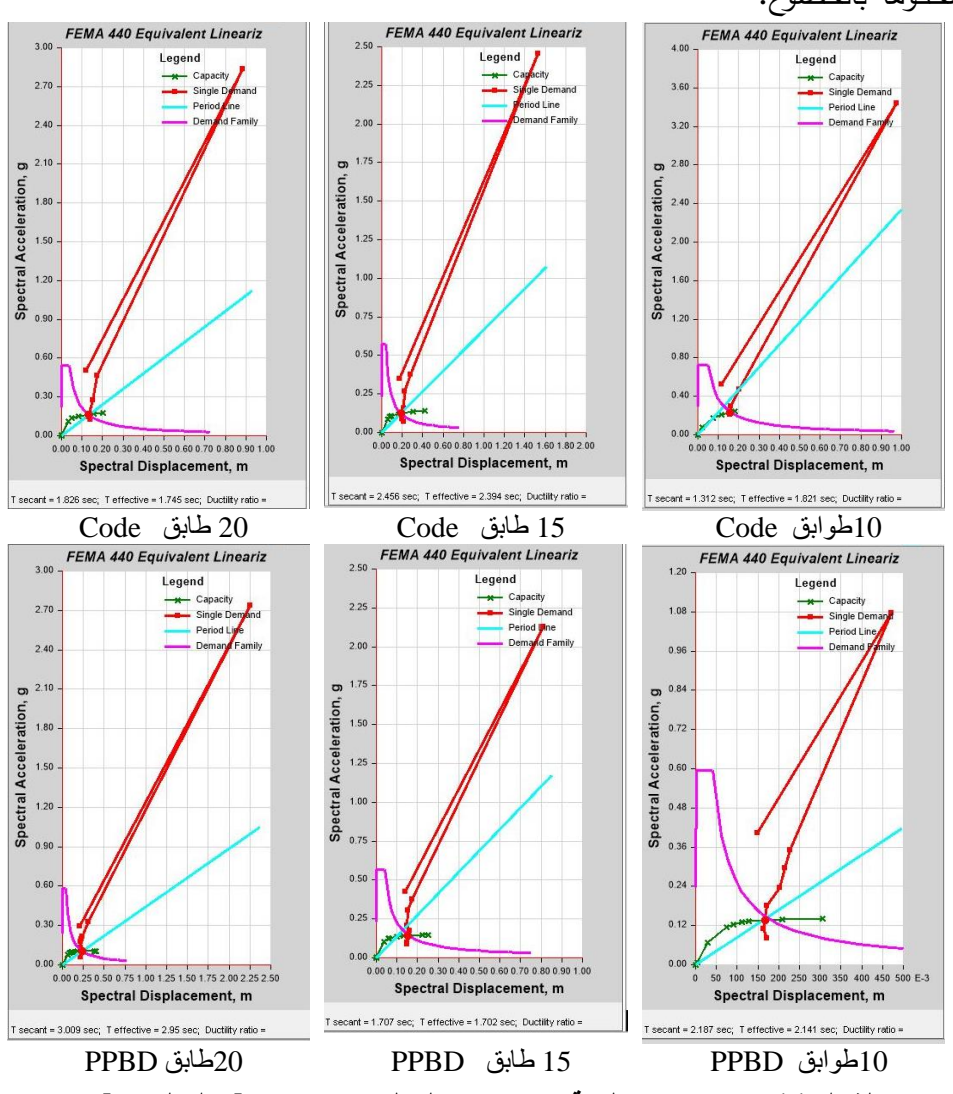
Code طابق 20 Code طابق 15 Code الشكل 15 الانتقال الطابقي الكلي عند السقف عند نقطة الأداء وفق الكود؛ [عمل الباحث].



الشكل 10: الانتقال الطابقي الكلي عند السقف عند نقطة الأداء للإطارات وفق PPBD؛ [عمل الباحث].

نلاحظ عدم حصول ميكانيزم الانهيار المرغوب في الإطارات بـ 10 و 15 و 20 طابق والمصممة وفق الكود كما يوضح الشكل (7) حيث لم تتلدن مقاطع الأعمدة والجدران في الطابق الأرضي عند الاتصال مع القاعدة، بينما يوضح الشكل (8) تشكل نمط انهيار

مرغوب في الإطارات بـ 10 و 15 و 20 طابق والمصممة وفق طريقة PPBD من خلال تشكل مفاصل لدنة في أطراف الجوائز في كافة الطوابق وفي كل من جدار القص والأعمدة في الطابق الأرضى عند الاتصال مع القاعدة كعناصر محكومة بالخضوع بينما تبقى الأعمدة وجدران القص في بقية الطوابق عدا الأرضى خالية من تشكل المفاصل اللدنة وتكون غير محكومة بالخضوع.



الشكل 11: منحنى الاستطاعة Pushover للإطارات بنوعيها؛ [عمل الباحث].

# المقارنة بين التصميم اللدن القائم على الأداء والتصميم المتبع في الكودات للجمل الثنائية من البيتون المسلح (إطارات-جدران قص)

يبين الشكل (9) نتائج الانتقال الطابقي الكلي عند السقف عند نقطة الأداء للإطارات المؤلفة من 10 15 و 20 طابقاً والمصممة وفق طريقة الكود اعتماداً على نتائج تحليل التحليل الستاتيكي اللاخطي Pushover. وبلغت قيمة الانتقال الكلي في الإطارات بـ 10 و 15 و 20 طابق والمصممة وفق الكود 17mm و 23mm و 27mm على الترتيب.

وبلغت قيمة الانتقال الكلي في الإطارات بـ 10 و 15 و 20 طابق والمصممة وفق طريقة 15mm PPBD و 15mm 19mm على الترتيب، الشكل (10)، وهي أخفض من الإطارات المصممة وفق الكود. ويوضح الشكل (11) منحني الاستطاعة الموافق لكل إطار من النماذج السابقة ويمكن ملاحظة تحسن المطاوعة في الإطارات المصممة بطريقة PPBD مقارنة بتلك المصممة وفق الكود.

#### الاستنتاجات والتوصيات:

- 1- انخفاض قيمة انتقال السقف الأخير الكلي عند نقطة الأداء في الإطارات المصممة بطريقة PPBD عن تلك المصممة وفق الكود بنسبة تتراوح من (14%-11%).
- 2- تحسن المطاوعة في الإطارات المصممة بطريقة PPBD عن تلك المصممة وفق الكود من خلال الحصول على انتقال حدي أكبر يوضحه منحني الاستطاعة من تحليل Pushover.
- 3- تعطي طريقة التصميم اللدن القائم على الأداء ميكانيزم الانهيار المرغوب في الجمل الثنائية والمتمثل بتشكل مفاصل لدنة في الأعمدة والجدران عند اتصالها مع القاعدة فقط وتشكل مفاصل لدنة في الجوائز في مختلف الطوابق.
- 4- انخفاض أبعاد مقاطع العناصر الإنشائية في الإطارات المصممة بطريقة PPBD عن تلك المصممة وفق الكود بنسبة تصل إلى (20%) وبالتالي انخفاض الوزن الكلي للمنشأ.
- 5- إن استخدام طريقة التصميم اللدن القائم على الأداء ساهم في الحصول على استجابة أمثل للجمل الثنائية من البيتون المسلح (إطارات جدران قص) وبمقاطع

تصميمية أخفض من طريقة التصميم وفق الكود لذلك نوصىي باعتمادها كطريقة

6- نوصى بمتابعة البحث في طريقة التصميم اللدن القائم على الأداء في الجمل الثنائية المؤلفة من اطارات مربطة مركزياً ولا مركزياً بأشكال مختلفة.

#### المراجع:

- .1 Goel, S.C., et al., Performance-based plastic design (PBPD) method for earthquake- resistant structures: an overview. The structural design of tall and special buildings, 2010. 19(1-2): p. 115-137.
- .2 Qiu, C., et al., Robustness of performance-based plastic design method for SMABFs. International Journal of Steel Structures, 2019. **19**: p. 787-805.
- .3 Kaveh, A. and P. Zakian, Optimal seismic design of reinforced concrete shear wall-frame structures. KSCE Journal of Civil Engineering, 2014. 18: p. 2181-219.0
- .4 Devi, G.N., Behaviour of Reinforced Concrete Dual Structural System: Strength, Deformation Characteristics, and Failure Mechanism. International Journal of Engineering and Technology, 2013. **5**(1): p. 14.
- Hajirasouliha, I., P. Asadi, and K. Pilakoutas, An efficient .5 performance- based seismic design method for reinforced concrete frames. Earthquake engineering & structural dynamics, 2012. **41**(4): p. 663-679.
- Syndicate, S.E., Appendix No. (2) Of The Syrian Arab Code: Design .6 and Realization Of Earthquake-Resistant Buildings and Structures. 2020: Damascus.
- .7 Mwafy, A. and A.S. Elnashai, Static pushover versus dynamic collapse analysis of RC buildings. Engineering structures, 2001. **23**(5): p. 407-424.
- IBC-2009, I.B.C. 1997. 8.
- Taha, R., A Case Study to Evaluate Performance of Multistory .9 Existing Buildings Located At Syrian Coast To Seismic Effect and Rehabilitation. 2013, Tishreen University: Faculty of Civil Engineering.

### المقارنة بين التصميم اللدن القائم على الأداء والتصميم المتبع في الكودات للجمل الثنائية من البيتون المقارنة بين التصميم اللدن القائم على الأداء والتصميم المتبع في الكودات للجمل الثنائية من البيتون

- .10 Bai, J. and J. Ou, Earthquake-resistant design of buckling-restrained braced RC moment frames using performance-based plastic design method. Engineering structures, 2016. **107**: p. 66-79.
- .11 Chao, S.-H. and S.C. Goel, *ASEISMIC DESIGN METHOD FOR STEEL CONCENTRIC BRACED FRAMES FOR ENHANCED PERFORMANCE*. 2006.
- .12 ATC-40, Seismic Evaluation and Retrofit of Reinforced Concrete Buildings. 1996, Applied Technology Council.
- .13 Newmark, N.M. and W.J. Hall, *Earthquake spectra and design*. Engineering monographs on earthquake criteria, 1982.
- .14 Bai, J., et al., Seismic optimization design for uniform damage of reinforced concrete moment-resisting frames using consecutive modal pushover analysis. Advances in Structural Engineering, 2016. **19**(8): p. 1313-1327.